

دراسة نظام تبريد كهروحراري للاستخدام الطبي

إبراهيم الأمين

قسم هندسة الطاقة، كلية الهندسة الميكانيكية، جامعة حلب

محمود الحسين

قسم هندسة الطاقة، كلية الهندسة الميكانيكية، جامعة حلب

الملخص

فسحت الظاهرة الكهروحرارية المجال لاستخدام أنظمة التبريد الكهروحرارية TECS في مختلف مجالات التكنولوجيا. أظهرت الدراسات على إمكانية تطبيق هذه التقنية مما لها أثر إيجابي على الإنسان مما يحتاجه من تبريد وتتدفئة.

يهدف البحث إلى دراسة العمليات التي تحدث في TECS، وأثر التبريد والتتدفئة على بعض أجهزة الجسم البشري خلال العلاج الطبيعي، ضمن دقة مستويات درجة الحرارة وموثوقية عالية، فضلاً عن مجموعة معقولة من الدراسات النظرية لتشغيل TECS في ظروف غير مستقرة، والتي تتطلب وضع نماذج رياضية مناسبة وطرق خاصة لحساب، وهو أمر مهم لاتجاه التبريد والتتدفئة.

لقد أثبتت الحسابات التي أجريت على النماذج الرياضية المتقدمة جدوى وضع نموذج TECS للتبريد والتتدفئة الموضعية على بعض أجهزة الجسم البشري.

تم مقارنة البيانات التجريبية مع القيم المحسوبة كانت متقاربة بشكل جيد. وكان أقصى انحراف بين الم定点 النظرية والتجريبية أقل من 7% ، ولم يتجاوز القيم المسموح بها.

كلمات مفتاحية: التبريد الكهروحراري، لنقل الحرارة، تصميم أنظمة التبريد.

المصطلحات

f - معامل الاحتكاك;	$o.f.$ - مكان العلاج (القدم);
α - الانشارية $[m^2/K.s]$;	T - درجة الحرارة $[{}^{\circ}C]$;
TEB - البطاريه الكهروحراريه;	v - السرعة $[m/s]$;
I - مثادة التيار الكهربائي $[Amp.]$;	L - السماكة $[m]$;
P - الضغط $[kg/m^3]$;	ρ - الكثافة $[N/m^2]$;
λ - عامل التوصيل الحراري $[W/m.K]$;	t - الزمن $[s]$;
$TECS$ - نظام التبريد الكهروحراري;	q - كمية الحرارة $[W/m^2]$;
σ - موضع على سطح العلوي للقدم;	r - المقاومة الكهربائية $[\Omega]$;
n - عدد الطبقات;	0 - موضع على الكائن البشري;
c - بارد;	h - ساخن.

١. المقدمة

فتحت الظاهرة الكهروحرارية (أن التيار الكهربائي المار بدارة مؤلفة من أنصاف توافق مختلفة يتسبب بامتصاص الحرارة في أحد جوانبها وإطلاقها في الجانب الآخر)، المجال لاستخدام TECS في مختلف مجالات التكنولوجيا، كما تم تجميعها نتيجة لهذه الدراسات وإيجاد أصناف التوافق جديدة، وكذلك ساهمت المخاوف المتزايدة في مجال اقتصاديات الوقود والانبعاثات العوذرية لوسائل التبريد وتأثيرها على البيئة وخاصة على طبقة الأوزون بإنشاع الاهتمام بالتقنية الكهروحرارية، في التطبيقات العملية، والبدء في إنتاجها. أفاق تطوير وتتفيد هذه التقنية من التبريد بحدده عدداً من المزايا مقارنة مع نظائرها من أنظمة التبريد الأخرى، وهي: (١) حساسية فائقة في ضبط درجات الحرارة المطلوب، (٢) سهولة الأداء والإصلاح والصيانة، (٣) صغريرة الحجم، (٤) عدم وجود أي ضوضاء وعدم وجود أجزاء متحركة، (٥) ملائمتها للبيئة لعدم وجود وسيط تبريد، مثل الفريونات.

٢. البحث وتحليل نظام التبريد الكهروحراري

١.٢. التحليل النظري

من أساليب العلاج هناك العلاج الفيزيائي الطبيعي، ويوجد عدد من العوامل الفيزيائية الطبيعية (الكهرباء، البرودة، الحرارة، الضوء، الصوت، الخ). يمكن الاستفادة من العلاج الطبيعي وذلك بعدم وجود ردود فعل سلبية من الإنسان أثناء العلاج. وهكذا، فإن استخدام العلاج الطبيعي هو من العوامل التي تؤثر على بعض أجهزة الجسم البشري مطبق عملياً حتى يومنا هذا، لهذا السبب، تم التفكير بإيجاد تقنية جديدة للعلاج الطبيعي تستخدم التبريد والتدفئة وكانت تقنية TECS.

الطرق الموجودة حالياً المستخدمة في المراكز الطبية للعلاج الطبيعي، على أساس أثر البرودة والحرارة (الحمامات الباردة والساخنة)، فضلاً عن مجموعة متنوعة من الأجهزة، والتي تقوم على استخدام المبردات الصلبة والسائلة، لا توفر الشروط الطبية اللازمة من التبريد والتدفئة مع الزمن المطلوب. تُعرف أنظمة التبريد والتدفئة بأنها ذات أبعاد هندسية كبيرة.

من تحليل الوضع الحالي لـ TECS، وتطور أفق الرعاية الصحية، وأثر التبريد والتدفئة على جسم الإنسان واستخدام لـ TECS لعلاج أمراض مختلفة بالعلاج الطبيعي. وضع تحدياً أمام مصممي أنظمة التبريد والتدفئة.

المواجهة التحدى العتمل في الجمع بين أنظمة التبريد والتدفئة في فترات مختلفة، والسيطرة على مستويات درجة الحرارة، الذي لا يمكن تحقيقه إلا من خلال استخدام TECS. الوضع الأمثل للتحول من التبريد إلى التدفئة، لكافلات بيولوجية معينة هو: $[min] (3-5)$ زمن التعرض للبرودة و $[min] (2-3)$ زمن التعرض للحرارة. لدورة تبريد واحدة لـ TECS سيكون معامل الطاقة أعظمي وسعة التبريد أعظمية. في مثل هذه الدارات وعلى المدى القصير لـ TECS سوف يغير من خصائصه، وعلى وجه الخصوص، معامل التبريد وكفاءة الطاقة، والمسافة العظمى للتبريد، الأمر الذي يتطلب بحث خاص واختيار الظروف العالية. تأثير التعرض للتبريد والتدفئة على الكائن البيولوجي عن طريق الجمع في وقت واحد

بين مناطق التدليك الميكانيكي المنعكش من الجسم، والعمل بالأخذ في الاعتبار استخدام طبقة حبيبية بين TEB (التدفئة) والકائن من التعرض، التي تقوم بدور المقاومة الحرارية بين TECS ومكان العلاج (القدم) للكائن البشري.

نعتبر طرق حساب ومحاكاة العمليات الحرارية والكهربائية في TECS، وتحليل البارومترات والأكثر أهمية: الاستطاعة العظمى للتبريد، وعامل أداء النظام.

إن تعرض الأنسجة للتبريد يسهم في تبدل الوضع في درجات الحرارة المنخفضة وتقلل من شدة العملية الالتهابية المحلية، والإحساس بالألم والختان بالكامل، ويستخدم العلاج بالتبريد على نطاق واسع في علاج الأمراض الالتهابية المزمنة، والجروح والحرائق والتهاب الوريد التخثري. انخفاض حرارة الجسم الموضعية هي أيضاً مفيدة في حالة وقوع إصابات، بما في ذلك الكسور وحالات الالتهابات.

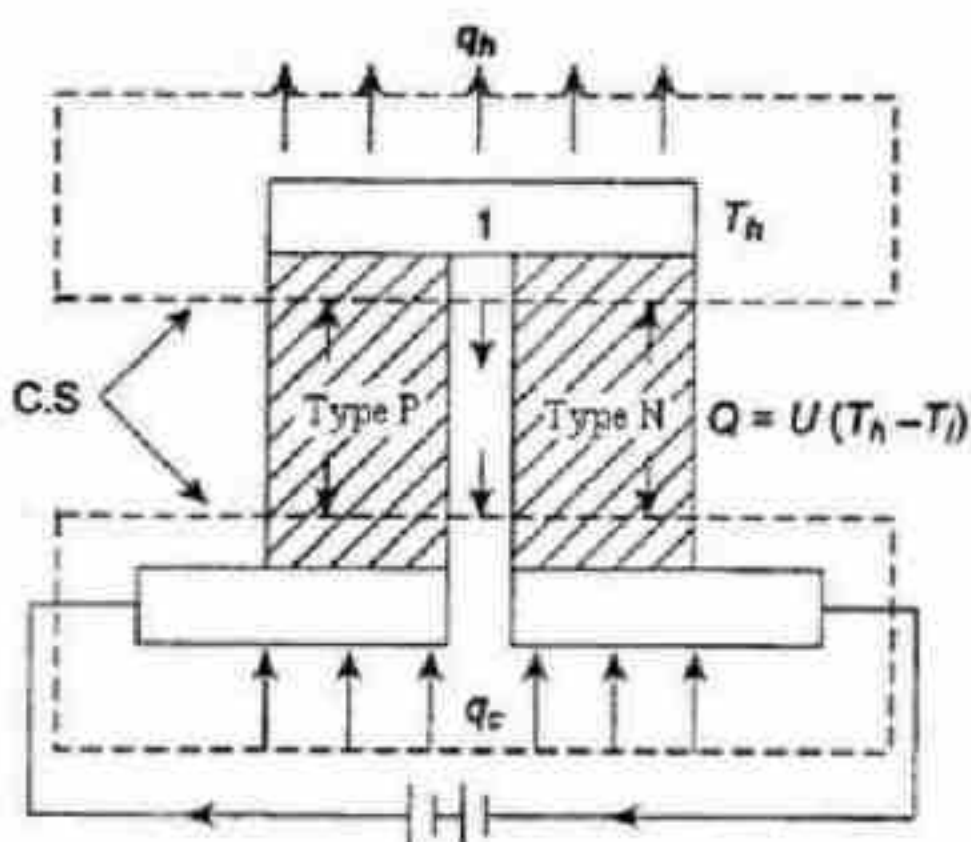
هناك طريقة أخرى من الأثر الحراري الموضعي على الجسم هو الأسلوب بالتأثير على النقاط النشطة بيولوجياً في الجسم البشري، كالوخز بالإبر. قد أظهرت الدراسات أنه من خلال العمل على سطح الجسم في مناطق معينة العوامل المادية، مثل التبريد والتدفئة، لأغراض علاجية يمكن أن تؤثر على وظائف الجسم الحيوية. ويتعزز تأثير التعرض للبرودة على الكائن البيولوجي عن طريق الجمع في وقت واحد من مناطق التدليك الميكانيكي المنعكش من الجسم.

لذا، من الضروري إيجاد TECS الذي يجمع بين الأثر المعاكس من للتبريد والتدفئة مع التدليك الميكانيكي، يمكن استخدامه في العلاج الطبيعي.

٢.٢. التحليل الرياضي

يمكن الجمع بين التعرض للتبريد والتدفئة بواسطة جهاز على شكل حذاء طبي (حذاء)، يمكن تنفيذ الإجراءات المتعلقة بالتعرف للتبريد والتدفئة في باطن القدم يتوافق مع نظام عكصها مع تردد معين ومدة بعض التعرض، الذي يفترض عدم وجود مقاومة حرارية بين TECS ونقاط عاتق وجوه الأثر. وجود حبيبات في

الجهاز، توفر التدليك الميكانيكي لمناطق منعكس القدم. وهذا يتطلب تطوير نموذج رياضي يأخذ في الاعتبار وجود المقاومة الحرارية بين TECS والكائن. يمكن اعتبار الجهاز هو نظام ثابت وغير مستقر.



الشكل (١): الشكل التخطيطي لنظام التبريد الكهروحراري.

يبين الشكل (١) الشكل التخطيطي لنظام التبريد الكهروحراري. لتحليل النظام، وحساب COP , ..., الخ، لا بد من الأخذ بالفرضيات التالية:

١- يحدث انتقال الحرارة خلال الوصلات في النهايات فقط.

٢- لا تبادل للطاقة بين العناصر خلال الفرق الذي يفصل بينها.

٣- اعتبار قيم ثابتة لخواص المواد مثل القوة الدافعة الكهربائية (a) والمقاومة الكهربائية (R) ومعامل الضياع الحراري (U).

تعطى الحرارة والبرودة في نظام التبريد الكهروحراري حسب تأثير بيته

بالشكل التالي:

للوصلة الداردة.

$$q_c = a_{p,N} IT_t$$

للوصلة الساخنة

$$q_h = a_{p,N} IT_h$$

لبناء نموذج رياضي لحالة ثابتة، يعتبر TECS حالة عامة لتأثير درجة الحرارة على الكائن البيولوجي، وتصميم النموذج المادي لتأثير العلاج بالصدمات الكهربائية على السطح السطحي والعلوي من القدم، وهو عبارة عن هيكل متعدد الطبقات يتالف من TECS وطبقة المقاومة الحرارية.

يمكن صياغة العلاقة الرياضية لحساب انتقال الحرارة لهذا النموذج نعرض

المعادلات $[(3)-(1)]$ مع الشروط الأولية والحدود $[(4)-(8)]$:

$$\frac{d^2 T_1}{dx^2} + \frac{r_1 I_1^2}{\lambda_1} = 0 \quad \dots(1)$$

$$\frac{d^2 T_2}{dx^2} = 0 \quad \dots(2)$$

$$\frac{d^2 T_3}{dx^2} + \frac{q_{sf}}{\lambda_1} = 0 \quad \dots(3)$$

$$T_1|_{x=0} = T_{1,0,f} \quad \dots(4)$$

$$\lambda_2 \frac{dT_2}{dx} \Big|_{x=L_2} = \lambda_1 \frac{dT_1}{dx} \Big|_{x=L_2} - q_{0,1} \quad \dots(5)$$

$$\lambda_2 \frac{dT_2}{dx} \Big|_{x=L_2} - f_v P = \lambda_3 \frac{dT_3}{dx} \Big|_{x=L_2} \quad \dots(6)$$

$$\lambda_3 \frac{dT_3}{dx} \Big|_{x=L_2} = 0 \quad \dots(7)$$

$$T_1|_{x=L_1} = T_2|_{x=L_1}, \quad T_2|_{x=L_2} = T_3|_{x=L_2} \quad \dots(8)$$

يتم كتابة حل هذه المعادلات على النحو التالي:

$$\left. \begin{array}{l} T_1 = -\frac{r_1 I_1^2}{2\lambda_1} x^2 + C_{11}x + C_{21}; \\ T_2 = C_{12}x + C_{22}; \\ T_3 = \frac{q_{o,f}}{2\lambda_3} x^2 + C_{13}x + C_{23} \end{array} \right\} \dots(9)$$

$$C_{21} = T_{40,f}; C_{12}\lambda_2 = -r_1 I_1^2 L_1 C_{11} - q_{o1};$$

$$-\frac{r_1 I_1^2}{2\lambda_1} L_1^2 + C_{11}L_1 + C_{21} = C_{12}L_1 + C_{22};$$

$$C_{12}L_2 + C_{22} = -\frac{q_{o,f}}{2\lambda_3} L_2^2 + C_{13}L_2 + C_{23};$$

$$C_{12} - f v P = -q_{o,f} L_2 + C_{13}\lambda_{31};$$

$$-q_{o,f} L_3 + C_{13}\lambda_3 = -r_4 I_4^2 L_3 + C_{14} - q_{o4};$$

$$-\frac{q_{o,f}}{2\lambda_3} L_3^2 + C_{13}L_3 + C_{23} = -\frac{r_4 I_4^2}{2\lambda_4} L_3^2 + C_{14}L_3 + C_{24};$$

$$\frac{r_4 I_4^2}{2\lambda_4} L_4^2 + C_{14}L_4 + C_{24} = T_{40,f}.$$

...(10)

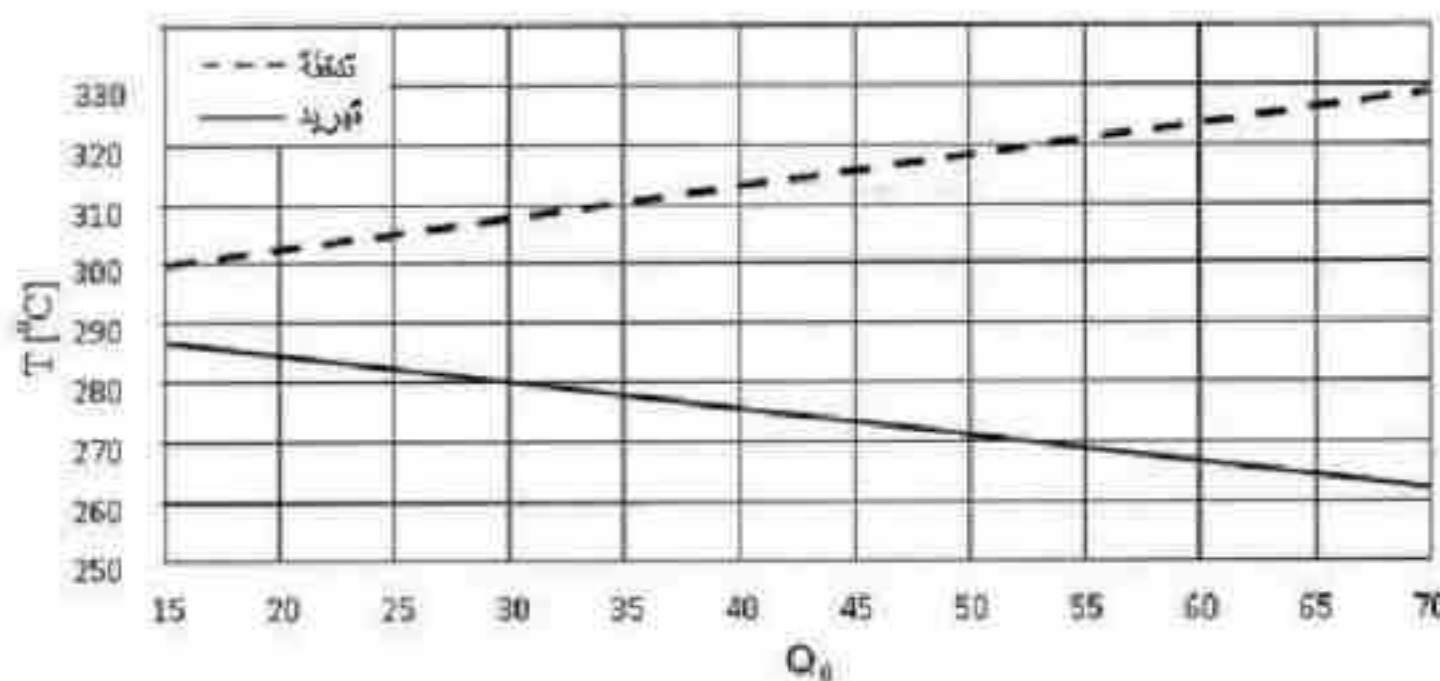
حيث أن: $-C_{11}, C_{12}, C_{21}, C_{22}, C_{13}, C_{23}, C_{14}, C_{24}$: الثوابت التي يحددها

تكامل المعادلات.

يصف الحل الناتج توزيع درجات الحرارة على سماكة كل طبقة في النموذج، ونظرًا لتفق الحرارة من داخل TEB. استنادًا إلى البيانات، يمكن حساب الصيغ ذات الصلة TEB.

تم تحديد توزيع درجة الحرارة في جميع أنحاء سماكة القدم، الشكل (2) يبين أنه لم يلاحظ على الخفاض درجة الحرارة على السطح، يرجع أساساً إلى وجود تبادل حرارة وطرح الحرارة على سطح واحد (أسفل) من القدم والعزل من جهة أخرى صغير مقارنة مع تدفق الحرارة من السطح السفلي.

ندرس حالة TECS مع حركة القدم على سطح الحبيبات (القابل الميكانيكي)، وهو عامل مهم، الاتصال بين TECS والسطح العلوي من القدم غير تام. يمكن حساب التبادل الحراري بين TECS وسطح الحبيبات بالمعادلة (٦) مضاف إليها القيمة ($\rho.v.P$) التي تحدد ضياع الحرارة، مما يؤدي إلى عدم الاتصال (انزلاق) بين السطحين. كمية الحرارة الضائعة عند سماكة طبقة من الحبيبات [m] 0.02 تسبب خفض درجات الحرارة بحدود $[^{\circ}\text{C}] (0.5 - 1)$ يمكن خفض هذه القيمة بزيادة معامل التوصيل الحراري للحبيبات، وذلك بتحديد السماكة المثلث لطبقة.



الشكل (٢): علاقة درجة حرارة القدمين على عمق $0.025[m]$ وسعة التبريد TEB عند التبريد والتكتفة.

تعتبر عملية تبادل الحرارة بين TEB والكائن البشري (القدم)، عملية عابرة (غير مستقرة). يمكن حسابها للنموذج، بالمعادلة (١١) مع الشروط الأولية والحدود:

$$\left. \begin{array}{l} \frac{\partial T}{\partial t} = \alpha \frac{\partial^2 T}{\partial x^2} + q_1; \\ T(x) \Big|_{t=0} = T_0; \lambda \frac{\partial T}{\partial x} \Big|_{x=L} = q_2; T \Big|_{x=0} = T_1 \end{array} \right\} \dots(11)$$

حيث أن: $q_2, q_1 = \frac{q_{inf}}{c\rho}$, $\alpha = \frac{\lambda}{c\rho}$ - دفق الحرارة في داخل القدم
 λ - معامل التوصيل الحراري للقدم; ρ - كثافة القدم; T_0 - درجة حرارة
 القدم (في معظم الحالات $[{}^{\circ}\text{C}]$ 36.6); T_1 - درجة الحرارة على السطح العلوي
 للقدم.

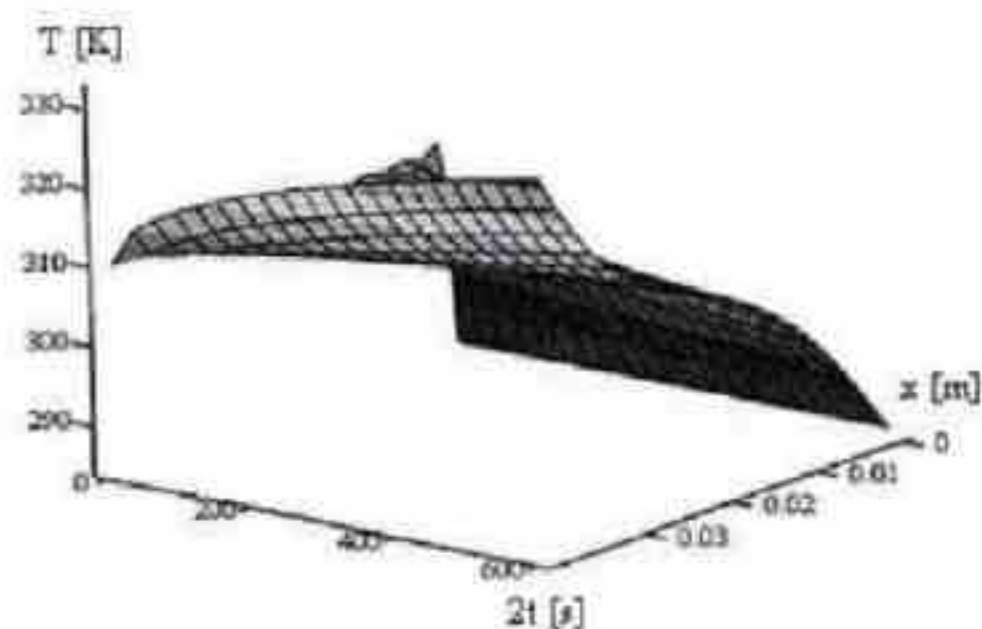
لحل هذه المعادلة نستخدم التموجة المستمرة وبعد التحولات المناسبة

نحصل على الآتي:

$$\left. \begin{array}{l} T(x,t) = T_1 + \frac{q_2}{\lambda} x - q_1 \left(\frac{x^2 - 2xL}{2\alpha} \right) - \sum_{n=1}^{\infty} \left(\frac{2(-1)^{n+1}}{\mu_n} \right) e^{-\mu_n^2 \frac{\alpha t}{L^2}} \\ \left. \left\{ \frac{q^2 L}{\lambda \mu_n} \sin \mu_n \frac{x}{L} + \left(T_1 - T_0 + \frac{q_1 L^2}{\alpha \mu_n^2} \right) \cos \mu_n \left(\frac{x-L}{L} \right) \right\} \right\} \end{array} \right\} \dots(12)$$

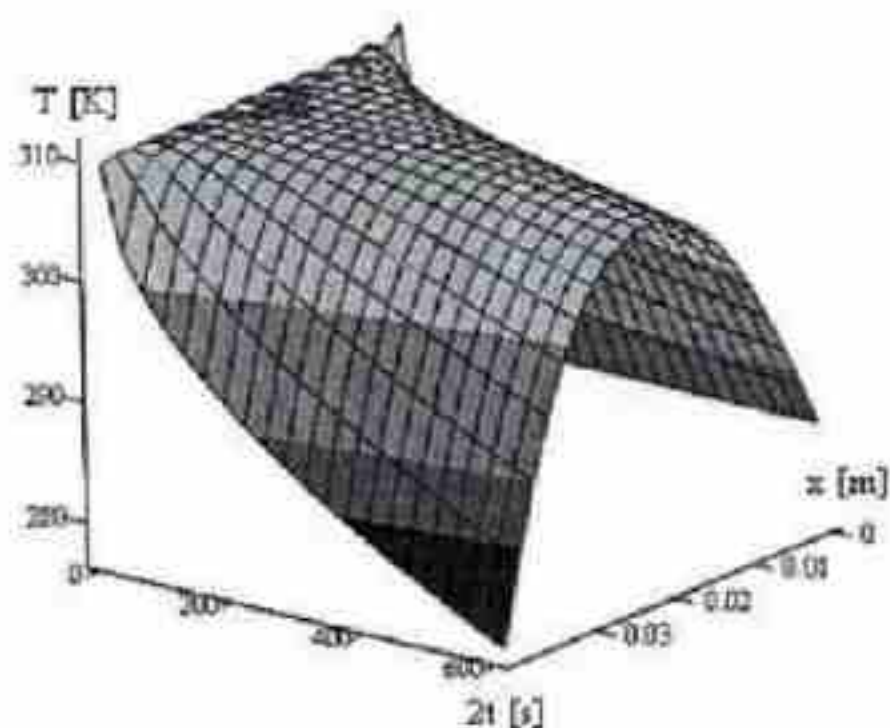
يوضح الشكل (٣) و (٤) توزع درجة الحرارة في جميع أنحاء سماكة القدم لقيم مختلفة q_2 . وبين الشكل (٣) الحالة عندما يكون هناك تبريد سطح واحد من القدم والتడفئة من جهة أخرى، كما في الشكل (٤) للتبريد على كل السطوح عكس القدم. وكانت البيانات الأولية لكلا الحالتين حسب المعطيات التالية:

$$\begin{aligned} & : q_2 = 1000 [W/m^2] ; L = 0.04 [m] ; \lambda = 0.4 [W/m.K] \\ & : T_1 = 285 [K] ; \alpha = 0.1 \times 10^{-6} [m^2/K.s] ; q_1 = 10^{-6} [W/kg] \\ & . x = (0 - 0.04) ; t = (0 - 600) [s] ; T_0 = 310 [K] \end{aligned}$$



الشكل (٣): علاقة توزع درجة الحرارة في جميع أنحاء س Rakka القدم عند تبريد وتسخينه من الطرف الآخر للزمن عند:

$$q_2 = 1000[W], T_i = 285[K], T_0 = 310[K]$$

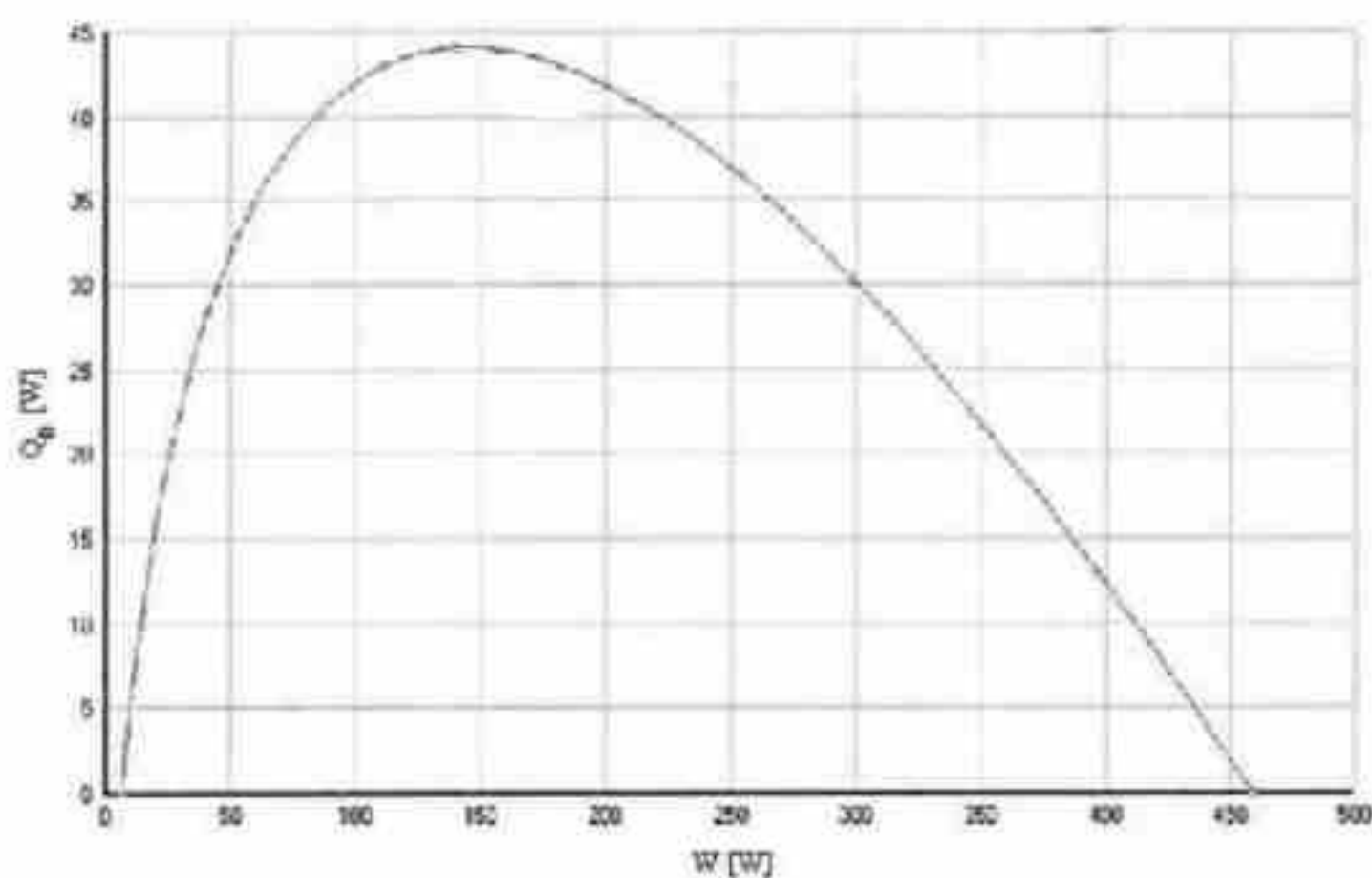


الشكل (٤): علاقة توزع درجة الحرارة في جميع أنحاء س Rakka القدم عند تبريده للزمن عند:

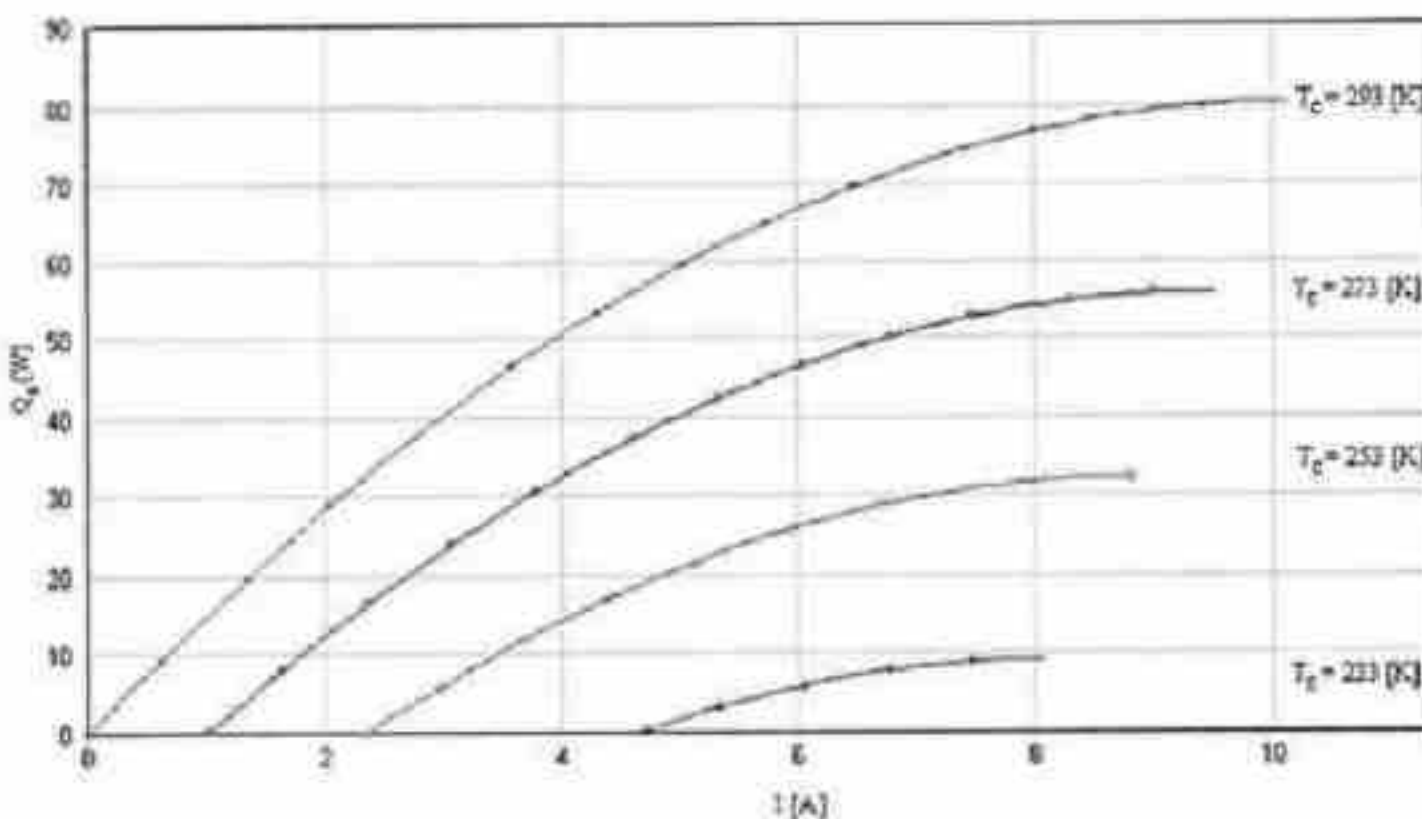
$$q_2 = 1500[W], T_i = 285[K], T_0 = 310[K]$$

ووفقاً للنتائج الواردة، نلاحظ تغير في درجات الحرارة على الأسطح المعاكسة للقدم صغير، النقص (الزيادة) في درجة حرارة القدم، في المناطق القريبة للسطح (الجلد)، ويعتمد فقط على سعة التبريد (أنتاج الحرارة) TEB، وانخفاض التوصيل الحراري لأنسجة القدم، وكذلك تدفقات الحرارة صغيرة على سطحه.

يبين الشكل (٥) و(٦) علاقة Q_{TEB} ، وقيم التيار الكهربائي I عند قيمة ثابتة لدرجة حرارة تبريد القدم ($T_{TEB} = 263[K]$) والطاقة الكهربائية المستهلكة، واستناداً إلى هذه البيانات، يمكن الاستنتاج أن القيمة المقبولة من الطاقة الكهربائية وتيار التغذية، لا يتجاوز في هذه الحالة [٤] .



الشكل (٥): علاقة سعة تبريد TEB وقيمة الاستطاعة الكهربائية.



الشكل (٦): علاقـة سـعة تـيرـيد TEB وقيـمة تـيار التـنظـيـة.

يمكن إعادة الدراسة هذه على المناطق (على سبيل المثال: سطح باطن الأيدي، وباطن القدمين، والمنطقة المحاطة بصيوان الأذن، الأنف، الخ). تعطى معادلة التوصيل الحراري بالشكل التالي:

$$\frac{\partial T}{\partial t} = \alpha \left(\frac{\partial^2 T}{\partial r^2} + \frac{1}{r} \frac{\partial T}{\partial r} + \frac{1}{r^2} \frac{\partial^2 T}{\partial \varphi^2} \right) + \frac{1}{c \cdot \rho} P(r, \varphi) \quad \dots (13)$$

الشروط الأولية والحدود:

$$T|_{t=0} = 310K \quad T|_{r=0} = T_0 = 310K, \quad \frac{\partial T}{\partial r}|_{r=0, \varphi=0} = 0, \quad \frac{\partial T}{\partial \varphi}|_{r=0, \varphi=0} = 0,$$

$$T|_{r=R, 0 \leq \varphi \leq 2\pi} = T_0$$

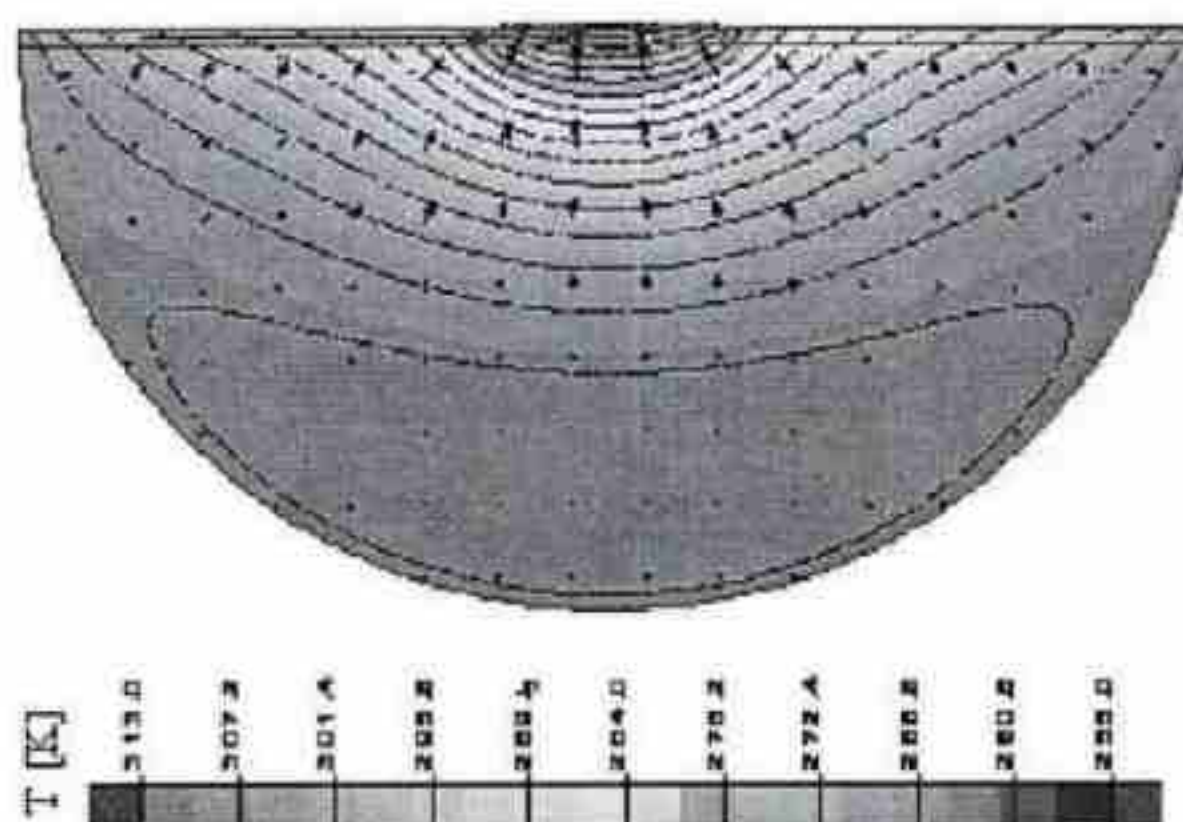
$$P(r, \varphi) = \begin{cases} \frac{Q_{TEB}}{\pi r_1^2} + q_{a,f}, & 0 \leq r \leq r_1, 0 \leq \varphi \leq 2\pi \\ 0, & r_1 \leq r \leq R, 0 \leq \varphi \leq 2\pi \\ T|_{r=0} = 310K, & \end{cases} \dots (14)$$

حيث أن: T - درجة حرارة الأنسجة البيولوجية؛ α - وانتشارية الحرارية من الأنسجة البيولوجية؛ $q_{a,f}$ - تدفق الحرارة من الكائن البيولوجي؛

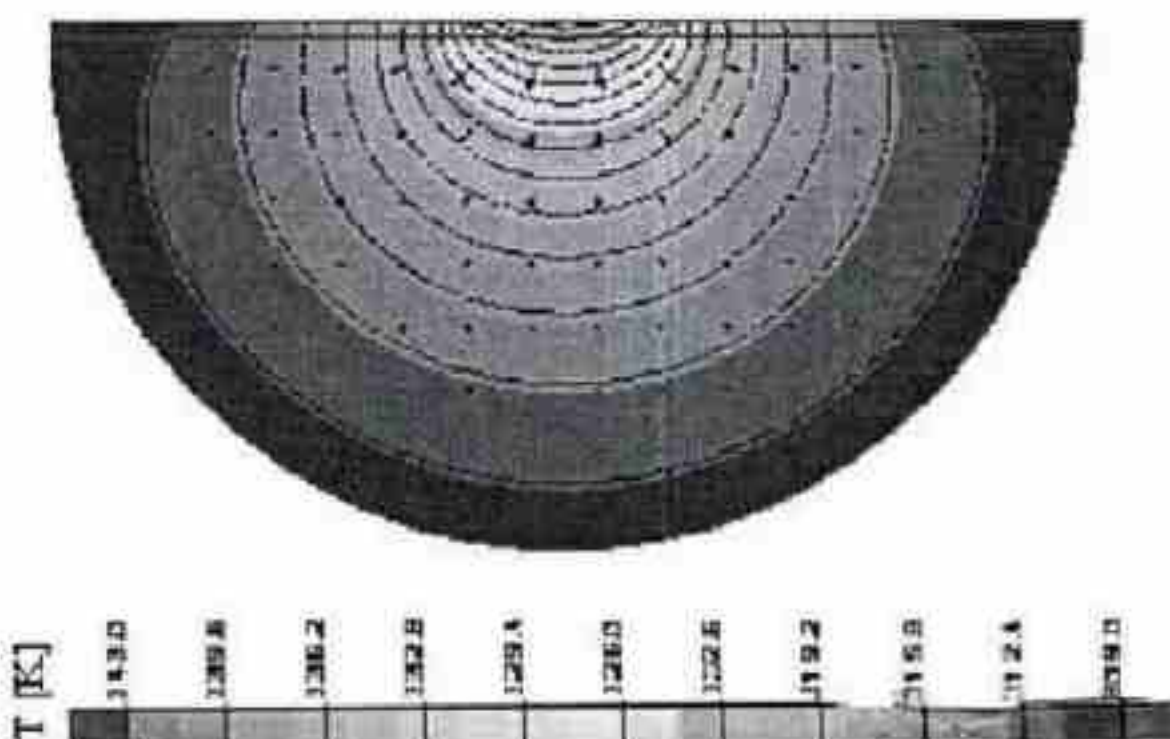
Q_{loss} - الطاقة الداخلية للكائن البيولوجي؛ c - السعة الحرارية للأنسجة
البيولوجية؛ ρ - كثافة الأنسجة البيولوجية؛ r - نصف قطر دائرة التفود؛ R -
نصف قطر دائرة التفود الأجزاء الثلاثة من الأنسجة البيولوجية (تأثير المصدر
البارد (الساخن) عند $R = r$ درجة حرارة الأنسجة البيولوجية تكاد لا تذكر).

استناداً إلى حل المعادلة (١٢) مع الشروط الحدية (٤) التي تم الحصول
عليها عددياً لأنماط توزع درجات الحرارة على مدى حجم الأنسجة البيولوجية
خلال التبريد والتذáfة بالشكل (٧) و (٨).

البيانات التي تم الحصول عليها تشير إلى فعالية كافية من الإجراءات في
الشعور بتأثير درجات الحرارة على مناطق التأثير المنعكس من الجسم البشري،
وتوزيع واضح لدرجة الحرارة على سطح الأنسجة البيولوجية.



الشكل (٧) توزع درجات الحرارة خلال حجم الكائن البيولوجي عند التبريد.



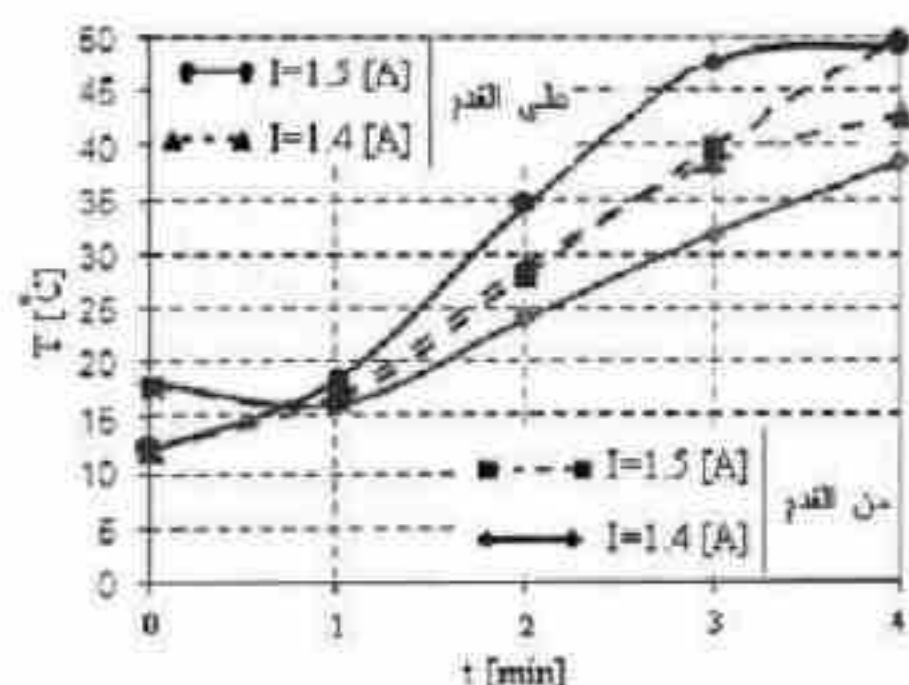
الشكل (٨) توزع درجات الحرارة خلال حجم الكائن البيولوجي عند التسخين.

٣. الدراسة التجريبية

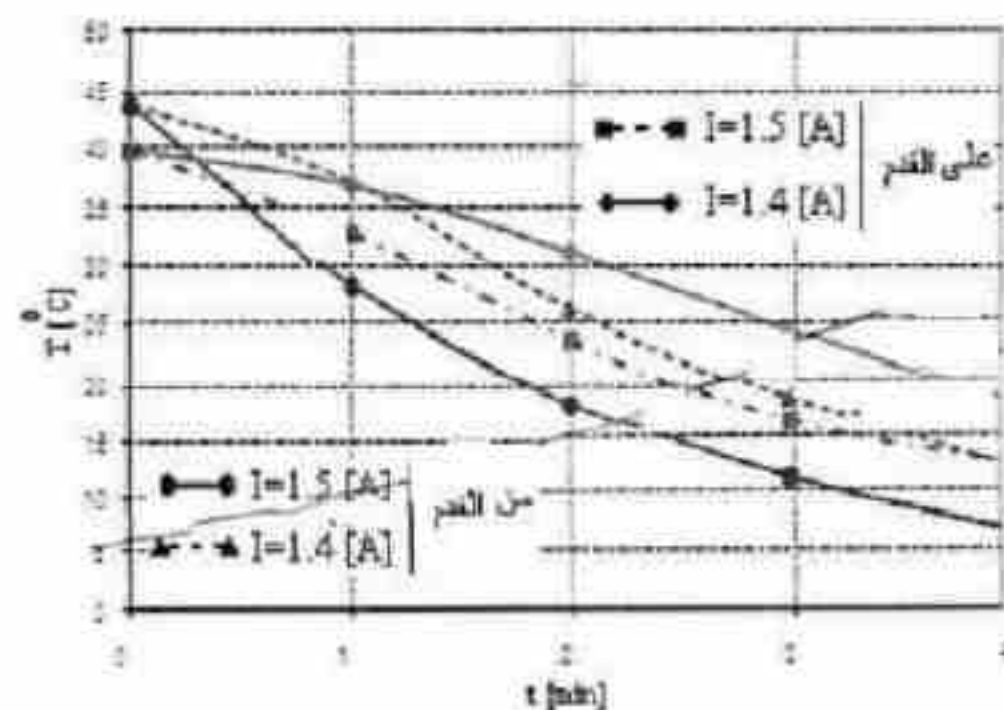
أثبتت الحسابات التي أجريت على النماذج الرياضية المتقدمة جدوى وضع نموذج TECS للتبريد والتدفئة الموضعية على بعض أجهزة الجسم البشري. تم مقارنة النتائج التي تم الحصول عليها من الدراسة مع الدراسات التجريبية التي تمت على TECS موديل PEBMRentium III للتبريد والتدفئة مناطق متميزة من أطراف الإنسان. وكان تطابق كبير بين النموذج الرياضي ونتائج الدراسات التجريبية.

تمت الدراسة التجريبية باستخدام كرات بأقطار مختلفة تتراوح ما بين (4 - 10) طول الخطوة $[mm]$. تم تحديد الصياغ في الحرارة للحالة المسقرة على أساس الفرق بين درجة الحرارة الحد العلوي من الطبقة الأولى والحد الثاني ودرجة الحرارة الشريحة. وهذا، تتراوح درجات الحرارة $[^{\circ}C]$ (2.5 - 3.5) عندما قطر الحبيبات يساوي $[mm]$ 10، و $[^{\circ}C]$ (1 - 2) عندما قطر يساوي $[mm]$ 4.

يظهر الشكل (٩) و (١٠) علاقة الزمن ودرجة الحرارة مابين TECS و باطن القدم لقيم مختلفة للتيار في وضع التدفئة الشكل (٩) والتبريد الشكل (١٠).
 وتتجدر الإشارة إلى أن درجة الحرارة تتصل إلى القيمة $[^{\circ}\text{C}]$ (42 - 45) في وضع التدفئة و $[^{\circ}\text{C}]$ (10 - 12) في وضع التبريد خلال $[min]$ (3 - 5).
 تم مقارنة البيانات التجريبية مع القيم المحسوبة وكانت متقاربة بشكل جيد.
 وكان أقصى انحراف بين المنحنيات الظاهريه والتجريبية أقل من 7%.

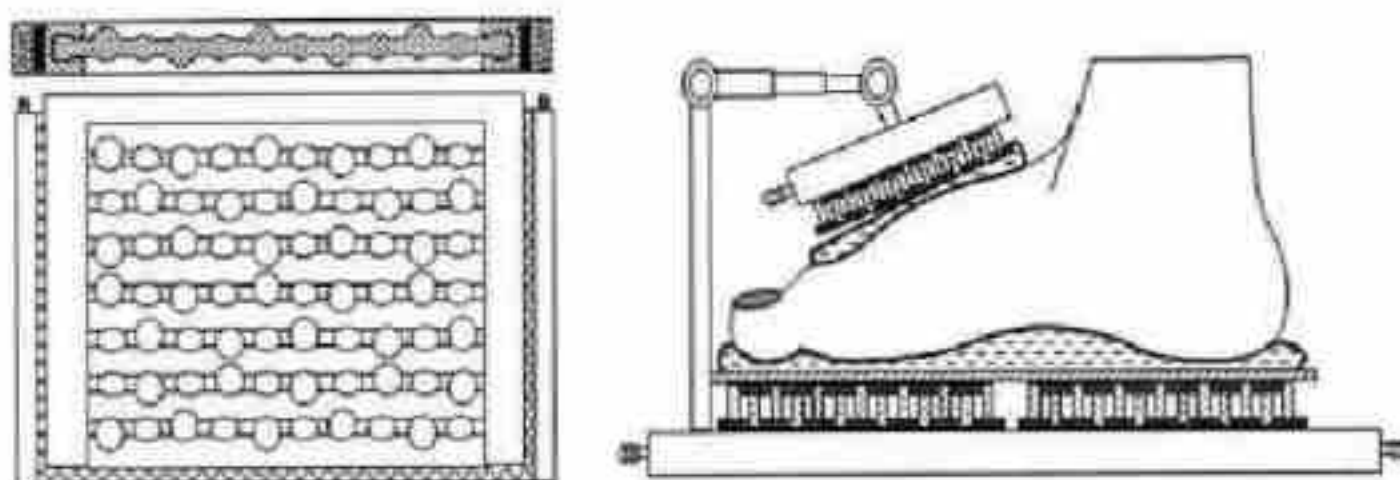


الشكل (٩): تغير درجة حرارة سطح نعسان القدم مع TECS مع قيم مختلفة للتيار تغذية ٥ TEB بالنسبة للزمن في وضع التدفئة.



الشكل (١٠): تغير درجة حرارة سطح تماس القدم مع TECS مع قيم مختلفة لنبار تغذية Δ TEB بالنسبة للزمن في وضع التبريد.

يبين الشكل (١١) التصميم المقترن لـ TECS وهو ذو جدران رقيقة ومرنة تتاسب مشكل القدم. ويوضح الشكل (١٢) سطح الحبيبات التي تؤمن تأثير التبريد والتدفئة مع التدليك الميكانيكي للقدم.



الشكل (١٢): شكل التخطيط لـ TECS للتبريد وتدفئة القدم من الأسفل والأعلى

٤. النتائج

- ١- إيجاد تقنية جديدة للتبريد والتدفئة للعلاج الطبيعي تلبي جميع احتياجات الكائن البشري التي تحسن من دقة ضبط درجات الحرارة، وتجمع بين ثأثر التدليك الميكانيكي، والمعالجة بتغيير درجات الحرارة.
- ٢- النماذج الرياضية لـ لـ اسة أو صاع مختلفة للتقنية العملية، والنظر في الحمل الحراري من خلال الحصان الحراري للقدم، والمقاومة الحرارية من خلال التماس عند تحريك القدم على سطح تجربيات.
- ٣- إثبات صحة النماذج الرياضية المتقدمة من خلال النتائج التجريبية، والتي أسفرت عن تباين بين البيانات النظرية والتجريبية التي لم تتجاوز القيم المسماوح بها.

المراجع

١. Пат. ٢٢٤٥٦٩٣. С2 А ٦١ F ٧//.. Полупроводниковое термоэлектрическое устройство для локального температурного воздействия на стопу человека / Т.А. Исмаилов, Г.И. Аминов, О.В. Евдулов, М.А. Хазамова (РФ). - № ٢٠٢١٢٥٧٨٥; Заявл. ٢٧.٠٩.٠٢; Опубл. ١٠.٠٢.٠٥, Бюл. № ٤. – ٤.
٢. Исмаилов Т.А., Аминов Г.И., Евдулов О.В., Хазамова М.А. Термоэлектрическое полупроводниковое устройство для локального температурного воздействия на стопу человека // Решение о выдаче патента РФ № ٢٠٢١٢٧٣٣٣.
٣. Хазамова М.А. Устройство для массажа стопы человека / Т.А. Исмаилов, Г.И. Аминов // Новые технологии в медицине: Материалы II республиканской научно-технической конференции. – Махачкала. ДГТУ. ٢٠٠٢. – С. ١٩٧–١٩٨
٤. Хазамова М.А. Математическая модель полупроводникового термоэлектрического устройства для теплового воздействия на стопу человека / Т.А. Исмаилов, О.В. Евдулов // Изв. вузов. Приборостроение. – ٢٠٠٣. – Т. ٤٧, № ٧. – С. ٥٣–٥٦.
٥. Хазамова М.А. Применение ТЭМ для местного температурного воздействия на конечности человека / Т.А. Исмаилов, О.В. Евдулов // Термоэлектрики и их применение: Материалы докл. IX Межгос. семинара, Санкт-Петербург, ФТИ им. А.Ф. Иоффе РАН, ٢٠٠٤. – С. ٤٣٨–٤٤٣.

٧. Стенд для испытаний термоэлектрического устройства для физиотерапии / Исмаилов Т.А., Хазамова М.А.
//Современные техника и технологии: Сб. докладов XI
Международной НПК. – Томск, ٢٠٠٩. Т. ١. С. ٣٨١–٣٨٢.
٨. Хазамова М.А. Термоэлектрический полупроводниковый интенсификатор для локального теплового воздействия на биологические ткани человеческого организма // Вестник ДГТУ. Техн. науки, - Вып. № ٨, - ٢٠٠٩, С. ٣٧–٣٩.
٩. Хазамова М.А. Моделирование нестационарного теплового режима отдельных зон человеческого организма при местном температурном воздействии / Т.А. Исмаилов, Р.П. Мейланов
// Изв. Вузов. Северо-Кавказский регион. Новочеркасск:
Технические науки. – ٢٠٠٩. № ١. С. ٣٤–٣٦.

Study of thermoelectric cooling system for medical use

Ibrahim Alamin

Dept. of Energy Engineering, Faculty of Mechanical Engineering,
University of Aleppo

Mahmud Alhussen

Dept. of Energy Engineering, Faculty of Mechanical Engineering,
University of Aleppo

Abstract

The thermoelectric phenomenon enables the use of TECS in various technology areas. Studies have shown the possibility of applying this technology, which have a positive impact in human life by insurance of his requirements of cooling and heating.

The research aims to study the processes that occur in TECS, and the effect of cooling and heating on some human organs during Physiotherapy, to ensure the accuracy of temperature levels and high reliability, as well as a complex set of theoretical studies for the operation of TECS in unsteady conditions, which requires the development of appropriate mathematical models and special methods of calculation, which is important for the direction of cooling and heating.

The conducted calculation on the developed mathematical models shows the importance of developing a model for TECS for local cooling and heating on some parts of human body.

Experimental data have been compared with calculated values, and there was a good agreement between them. The maximum deviation from the theoretical and experimental curves is less than $\pm\%$, and didn't exceeds the allowed values.

Keywords: thermoelectric cooling, heat transfer, cooling systems design.